

Typenreihe/Type range T 85 N 400\* 600 800 1000 1100 1200 1400 1600 1800\*

**Elektrische Eigenschaften**

**Electrical properties**

**Höchstzulässige Werte**

**Maximum permissible values**

$V_{DRM}, V_{RRM}$	Periodische Vorwärts- und Rückwärts-Sperrspannung	repetitive peak forward off-state and reverse voltages	400...1800	V
$I_{TRMSM}$	Effektiver Durchlaßstrom	RMS on-state current	200	A
$I_{TAVM}$	Dauergrenzstrom	average on-state current	$t_C = 85^\circ C$ $t_C = 56^\circ C$	85 127
$I_{TRM}$	Periodischer Spitzenstrom	repetitive peak on-state current	1200	A
$I_{TSM}$	Stoßstrom-Grenzwert	surge current	$t_p = 10 \text{ ms}, t_{vj} = 45^\circ C$ $t_p = 10 \text{ ms}, t_{vj} = t_{vj \text{ max}}$	2300 2000
$\int i^2 dt$	Grenzlastintegral	$\int i^2 dt$ -value	$t_p = 10 \text{ ms}, t_{vj} = 45^\circ C$ $t_p = 10 \text{ ms}, t_{vj} = t_{vj \text{ max}}$	26500 20000
$(di/dt)_{cr}$	Kritische Stromsteilheit	critical rate of rise of on-state current	nicht periodisch/non repetitive	800
			Dauerbetrieb/continuous operation, $i_{TM} = 400 \text{ A}$ , $V_L = 10 \text{ V}, i_G = 0,6 \text{ A}, di_G/dt = 0,6 \text{ A}/\mu\text{s}$	150
$(dv/dt)_{cr}$	Kritische Spannungssteilheit	critical rate of rise of off-state voltage	$v_D = 67\% V_{DRM}, t_{vj} = t_{vj \text{ max}}$ 5. Kennbuchstabe/5th letter C 5. Kennbuchstabe/5th letter F	400 1000
				V/ $\mu\text{s}$ V/ $\mu\text{s}$

**Charakteristische Werte**

**Characteristic values**

$v_T$	Oberer Durchlaßspannung	max. on-state voltage	$t_{vj} = 25^\circ C, i_T = 400 \text{ A}$	1,9	V
$V_{(TO)}$	Schleusenspannung	threshold voltage	$t_{vj} = t_{vj \text{ max}}$	1	V
$r_T$	Ersatzwiderstand	slope resistance	$t_{vj} = t_{vj \text{ max}}$	2,6	m $\Omega$
$v_{GT}$	Oberer Zündspannung	max. gate trigger voltage	$t_{vj} = 25^\circ C, v_D = 6 \text{ V}, R_A = 5 \Omega$	1,4	V
$i_{GT}$	Oberer Zündstrom	max. gate trigger current	$t_{vj} = 25^\circ C, v_D = 6 \text{ V}, R_A = 5 \Omega$	150	mA
	Unterer Zündstrom	min. gate trigger current	$t_{vj} = t_{vj \text{ max}}, v_D = 6 \text{ V}, R_A = 5 \Omega$	5	mA
$I_H$	Oberer Haltestrom	max. holding current	$t_{vj} = 25^\circ C, v_D = 6 \text{ V}, R_A = 5 \Omega$	200	mA
$I_L$	Oberer Einraststrom	max. latching current	$t_{vj} = 25^\circ C, v_D = 6 \text{ V}, R_{GK} \geq 10 \Omega$	620	mA
$i_D, I_R$	Oberer Vorwärts- und Rückwärts-Sperrstrom	max. forward off-state and reverse currents	$i_G = 0,6 \text{ A}, di_G/dt = 0,6 \text{ A}/\mu\text{s}, t_g = 20 \mu\text{s}$ $t_{vj} = t_{vj \text{ max}}, v_D = V_{DRM} (V_R = V_{RRM})$	25	mA
$t_{gd}$	Oberer Zündverzögerung	max. gate controlled delay time	$i_G = 0,6 \text{ A}, di_G/dt = 0,6 \text{ A}/\mu\text{s}$	3	$\mu\text{s}$
$t_q$	Typische Freiwerdezeit	typical turn-off time	Prüfbedingungen/test conditions 3.4.3.4	200	$\mu\text{s}$
$C_{null}$	Typische Nullkapazität	typical zero capacitance	$t_{vj} = 25^\circ C, f = 10 \text{ kHz}$	3	nF

**Thermische Eigenschaften**

**Thermal properties**

$R_{thJC}$	Innere Wärmewiderstand	thermal resistance, junction to case	$\theta = 180^\circ \text{el, sinus}$ DC	$\leq 0,3 \text{ }^\circ\text{C}/\text{W}$ $\leq 0,28 \text{ }^\circ\text{C}/\text{W}$
$t_{vj \text{ max}}$	Höchstzul. Sperrschichttemperatur	max. junction temperature		125 $^\circ\text{C}$
$t_{vj \text{ op}}$	Betriebstemperatur	operating temperature		-40 $^\circ\text{C}$ ... +125 $^\circ\text{C}$
$t_{stg}$	Lagertemperatur	storage temperature		-40 $^\circ\text{C}$ ... +150 $^\circ\text{C}$

**Mechanische Eigenschaften**

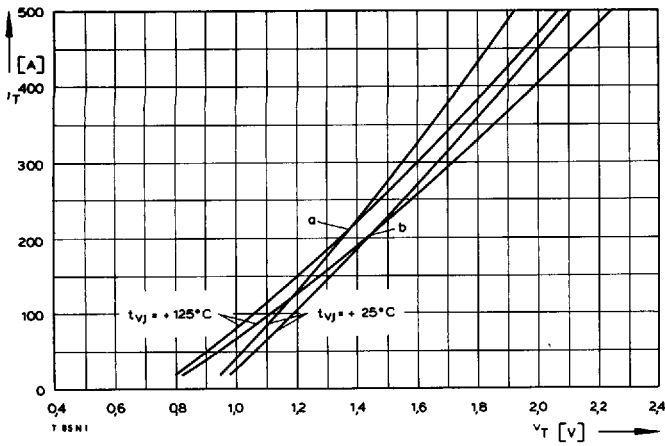
**Mechanical properties**

	Si-Element mit Druckkontakt	Si-pellet with pressure contact		
G	Gewicht	weight		150 g
M	Anzugsdrehmoment	tightening torque		20 Nm
	Maßbilder B/V	outlines B/V	DIN 41892-204 B 3/TO 94	Seite/page 238/239
	Kriechstrecke	creepage distance		8 mm
	Feuchteklasse	humidity classification	DIN 40040	C
	Schüttelfestigkeit	vibration resistance	f = 50 Hz	5x9,81 m/s <sup>2</sup>

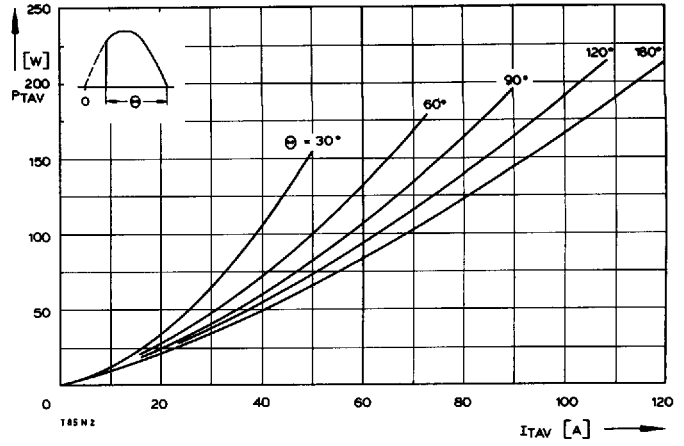
\* Für größere Stückzahlen bitte Liefertermin erfragen/Delivery for larger quantities on request

**T 85 N**

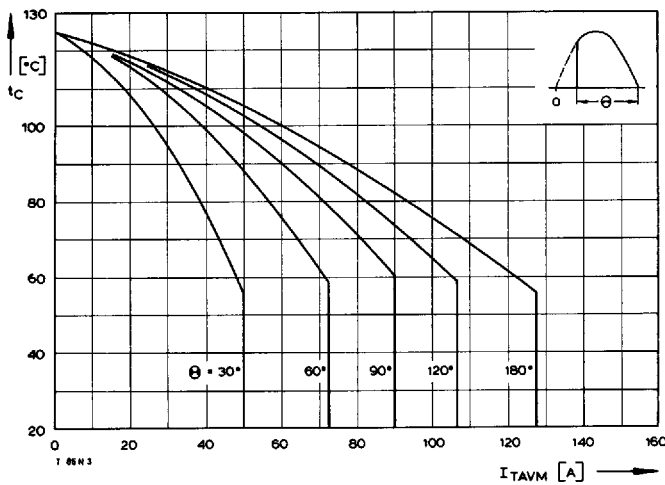
T-25-17



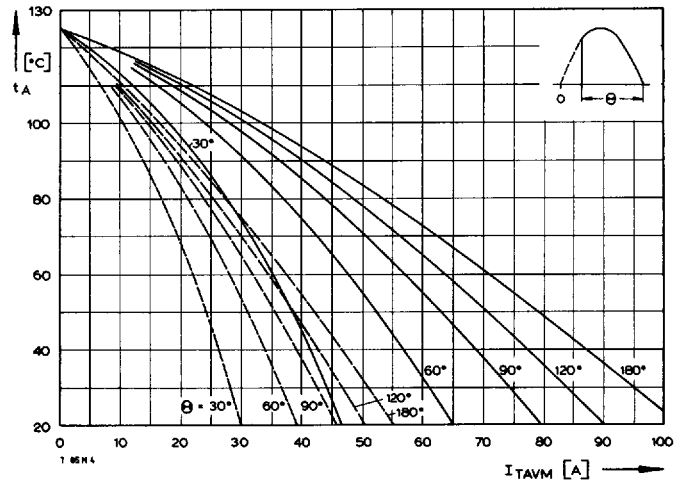
Bild/Fig. 1  
Durchlaßkennlinien/On-state characteristics  
a – Typische Kennlinien/typical characteristics  
b – Grenzkennlinien/limiting characteristics



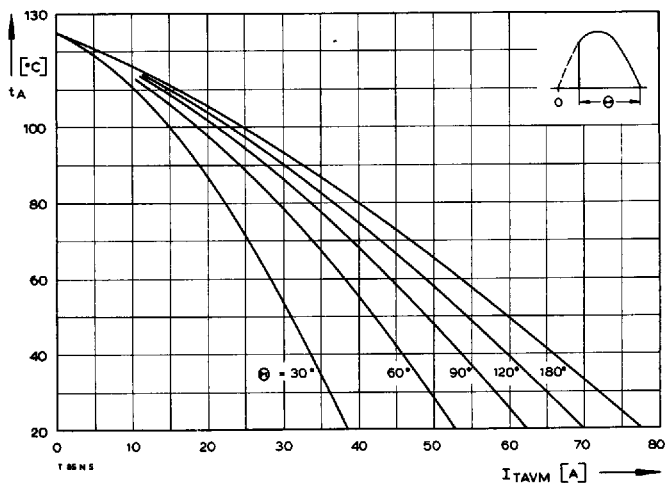
Bild/Fig. 2  
Durchlaßverlustleistung P\_T/On-state power loss P\_T  
Parameter: Stromfußwinkel theta/current conduction angle theta



Bild/Fig. 3  
Höchstzulässige Gehäusetemperatur t\_c  
Maximum allowable case temperature t\_c

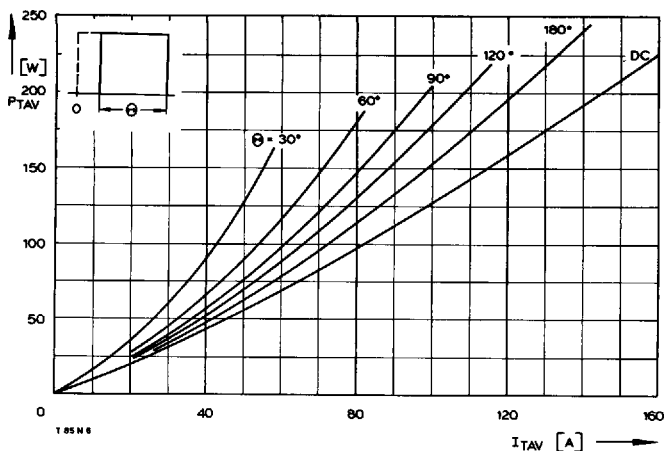


Bild/Fig. 4  
Höchstzulässige Kühlmitteltemperatur t\_A, Kühlkörper KL 42  
Maximum allowable cooling medium temperature t\_A, heatsink type KL 42  
- - - Luftselbstkühlung/natural cooling  
— Verstärkte Luftkühlung/forced cooling

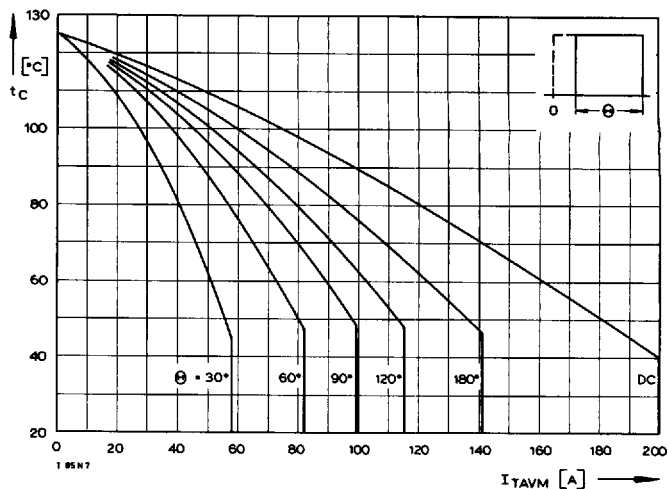


Bild/Fig. 5  
Höchstzulässige Kühlmitteltemperatur t\_A bei Luftselbstkühlung,  
Kühlkörper KL 91  
Maximum allowable cooling medium temperature t\_A at natural cooling,  
heatsink type KL 91

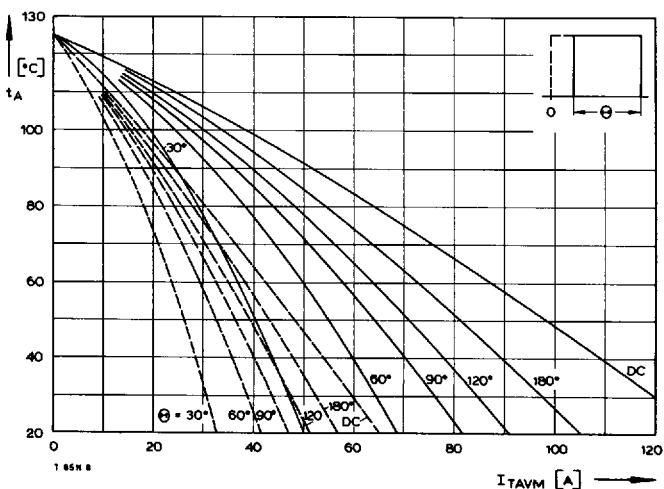
T-25-17



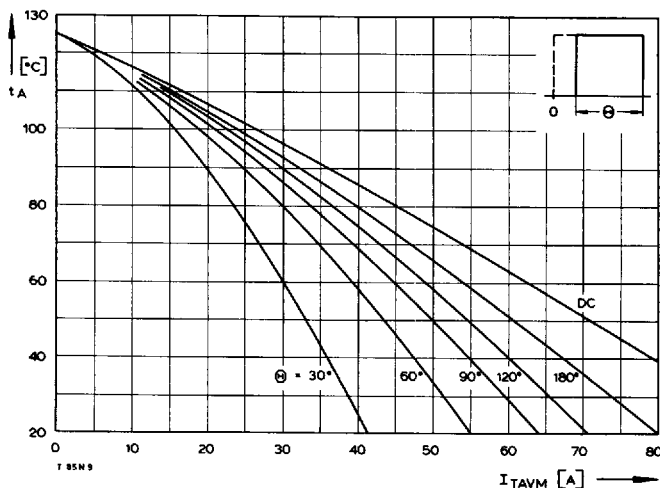
Bild/Fig. 6  
Durchlaßverlustleistung  $P_T$ /On-state power loss  $P_T$   
Parameter: Stromflußwinkel  $\Theta$ /current conduction angle  $\Theta$



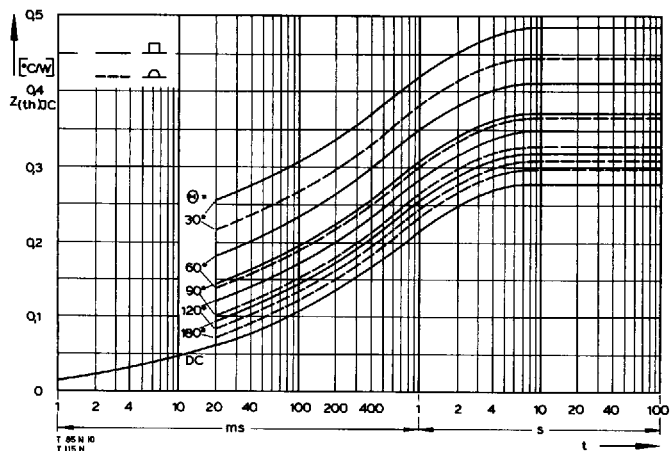
Bild/Fig. 7  
Höchstzulässige Gehäusetemperatur  $t_c$   
Maximum allowable case temperature  $t_c$



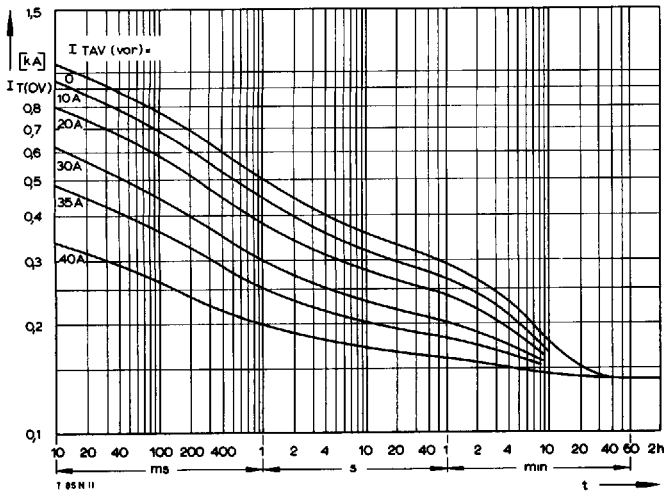
Bild/Fig. 8  
Höchstzulässige Kühlmitteltemperatur  $t_A$ , Kühlkörper KL 42  
Maximum allowable cooling medium temperature  $t_A$ , heatsink type KL 42  
----- Luftselbstkühlung/natural cooling  
———— Verstärkte Luftkühlung/forced cooling



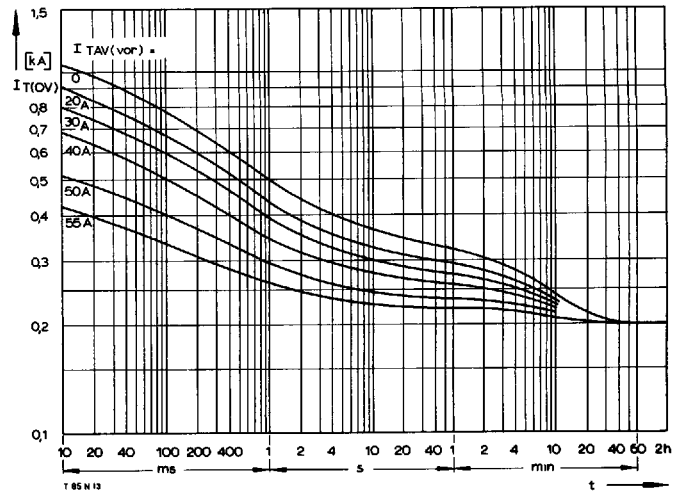
Bild/Fig. 9  
Höchstzulässige Kühlmitteltemperatur  $t_A$  bei Luftselbstkühlung,  
Kühlkörper KL 91  
Maximum allowable cooling medium temperature  $t_A$  at natural cooling,  
heatsink type KL 91



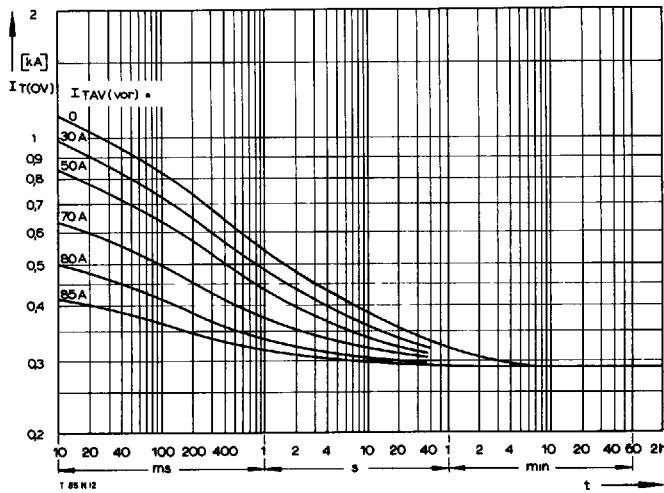
Bild/Fig. 10  
Transienter innerer Wärmewiderstand  $Z_{T(jc)}$  bei sinus- und rechteckförmigem Stromverlauf.  
Transient thermal impedance  $Z_{T(jc)}$ , junction to case at sinusoidal and square wave current.



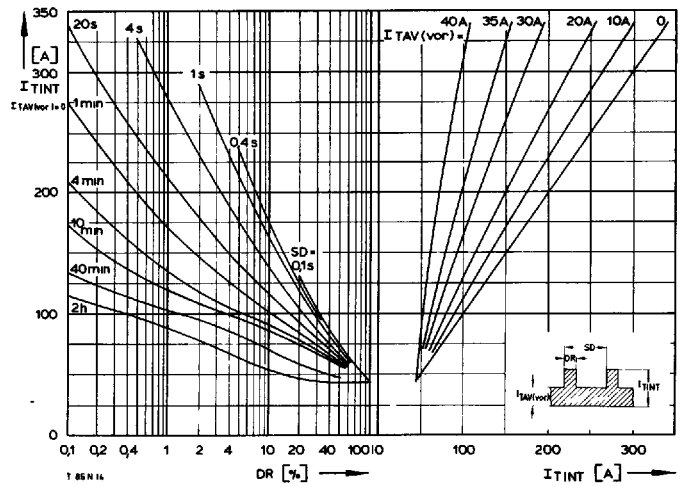
Bild/Fig. 11  
Überstrom  $I_{T(OV)}$  bei **Luftselbstkühlung**,  $t_a = 45^\circ\text{C}$ , Kühlkörper **KL 42**  
Overload on-state current  $I_{T(OV)}$  at **natural cooling**,  $t_a = 45^\circ\text{C}$ ,  
heatsink type **KL 42**  
Parameter: Vorlaststrom/pre-load current  $I_{TAV(vor)}$



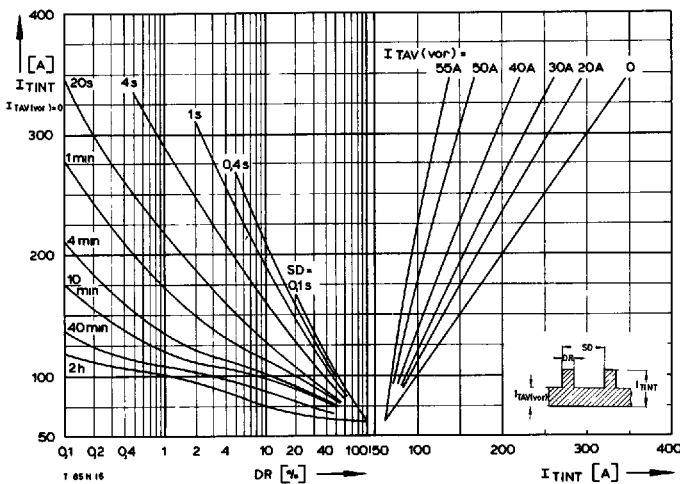
Bild/Fig. 12  
Überstrom  $I_{T(OV)}$  bei **Luftselbstkühlung**,  $t_a = 45^\circ\text{C}$ , Kühlkörper **KL 91**  
Overload on-state current  $I_{T(OV)}$  at **natural cooling**,  $t_a = 45^\circ\text{C}$ ,  
heatsink type **KL 91**  
Parameter: Vorlaststrom/pre-load current  $I_{TAV(vor)}$



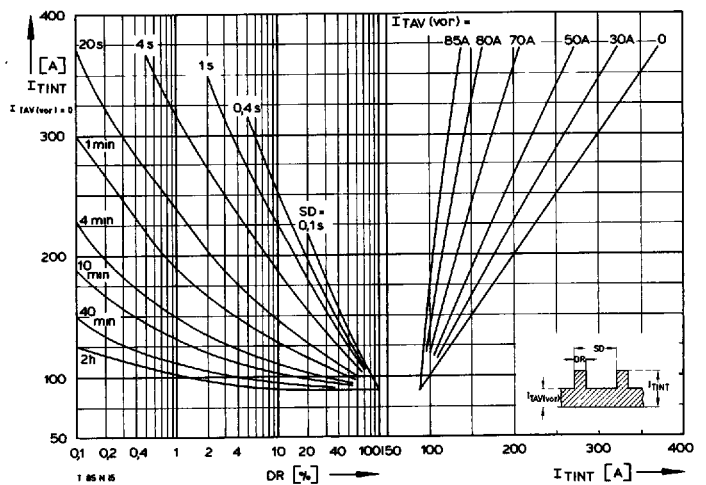
Bild/Fig. 13  
Überstrom  $I_{T(OV)}$  bei **verstärkter** Luftkühlung,  $t_a = 35^\circ\text{C}$ , Kühlkörper **KL 42**  
Overload on-state current  $I_{T(OV)}$  at **forced cooling**,  $t_a = 35^\circ\text{C}$ ,  
heatsink type **KL 42**  
Parameter: Vorlaststrom/pre-load current  $I_{TAV(vor)}$



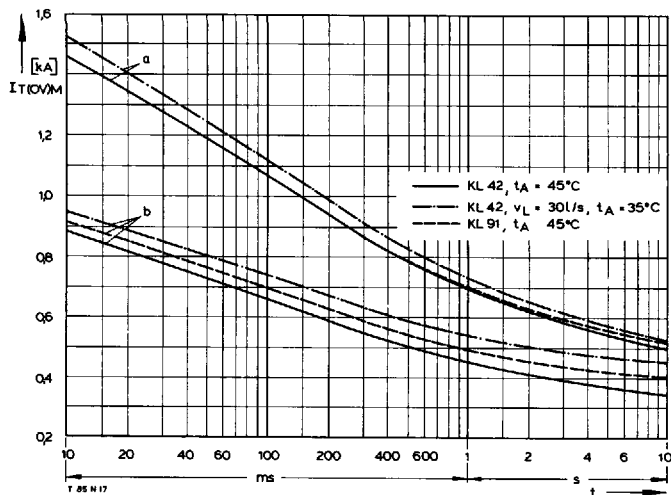
Bild/Fig. 14  
Höchstzulässiger Durchlaßstrom  $I_{TINT}$  bei Aussetzbetrieb und **Luftselbstkühlung**,  
 $t_a = 45^\circ\text{C}$ , Kühlkörper **KL 42**  
Limiting on-state current  $I_{TINT}$  during intermittent operation at **natural cooling**,  
 $t_a = 45^\circ\text{C}$ , heatsink type **KL 42**  
Parameter: Spieldauer/cycle duration SD  
Vorlaststrom/pre-load current  $I_{TAV(vor)}$



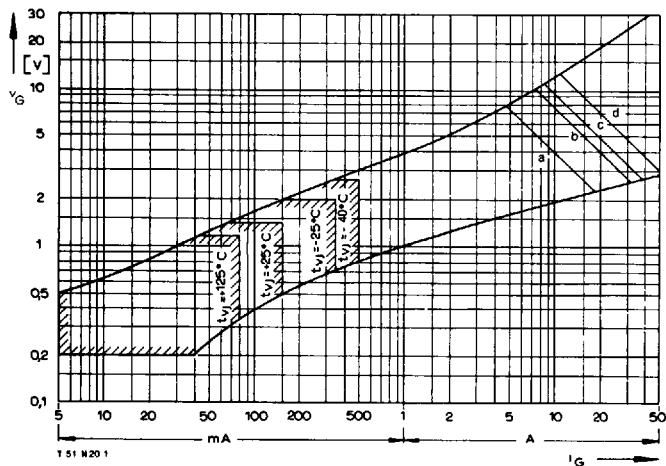
Bild/Fig. 15  
Höchstzulässiger Durchlaßstrom  $I_{TINT}$  bei Aussetzbetrieb und **Luftselbstkühlung**,  
 $t_a = 45^\circ\text{C}$ , Kühlkörper **KL 91**  
Limiting on-state current  $I_{TINT}$  during intermittent operation at **natural cooling**,  
 $t_a = 45^\circ\text{C}$ , heatsink type **KL 91**  
Parameter: Spieldauer/cycle duration SD  
Vorlaststrom/pre-load current  $I_{TAV(vor)}$



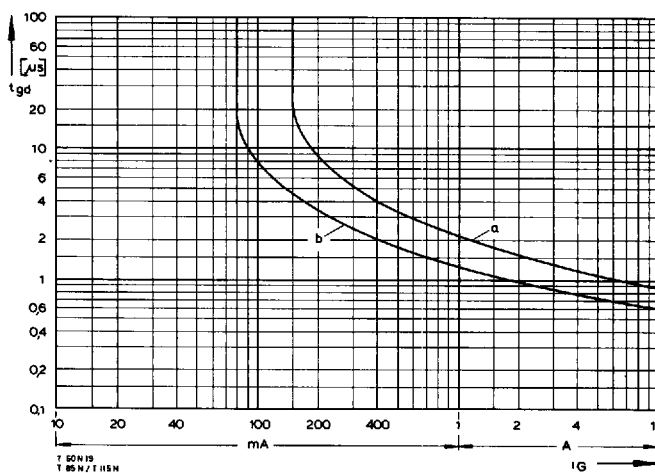
Bild/Fig. 16  
Höchstzulässiger Durchlaßstrom  $I_{TINT}$  bei Aussetzbetrieb und **verstärkter**  
Luftkühlung,  $t_a = 35^\circ\text{C}$ , Kühlkörper **KL 42**  
Limiting on-state current  $I_{TINT}$  during intermittent operation at **forced cooling**,  
 $t_a = 35^\circ\text{C}$ , heatsink type **KL 42**  
Parameter: Spieldauer/cycle duration SD  
Vorlaststrom/pre-load current  $I_{TAV(vor)}$



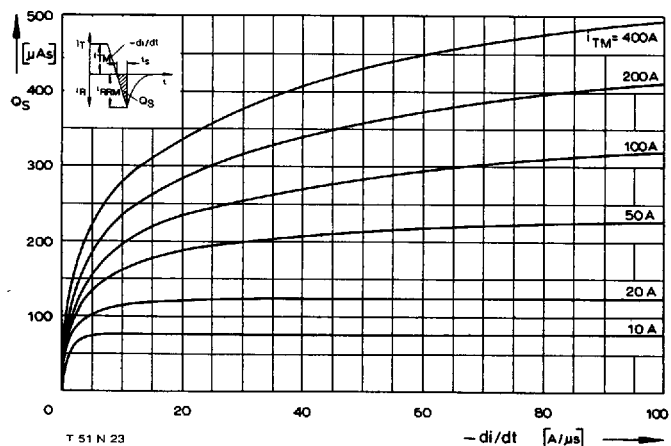
Bild/Fig. 17  
 Grenzstrom  $I_{T(OV)M}$  bei Luftselbstkühlung und verstärkter Luftkühlung, Kühlkörper KL 42... und KL 91...,  $u_{RM} = 0,8 U_{RRM}$ .  
 Limiting overload on-state current  $I_{T(OV)M}$  at natural and forced cooling, heatsink type KL 42... and KL 91...,  $u_{RM} = 0.8 U_{RRM}$ .  
 a – Belastung aus Leerlauf/current surge under no-load conditions  
 b – Belastung nach Betrieb mit Dauergrenzstrom  $I_{TAVM}$ /current surge occurs during operation at limiting mean on-state current rating  $I_{TAVM}$



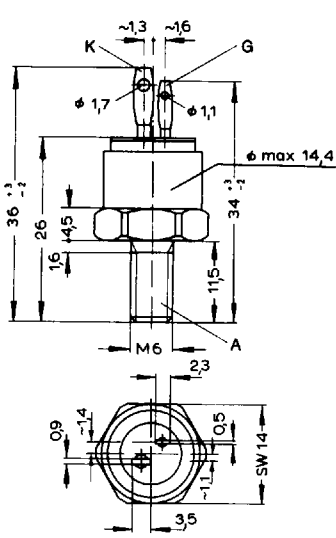
Bild/Fig. 18  
 Zündbereich und Spitzensteuerleistung bei  $v_D \geq 6\text{ V}$ .  
 Gate characteristic and peak gate power dissipation at  $v_D \geq 6\text{ V}$ .  
 Parameter: a b c d  
 Steuerimpulsdauer/Pulse duration  $t_g$  [ms] 10 1 0,5 0,1  
 Höchstzulässige Spitzensteuerleistung/Maximum allowable peak gate power [W] 40 80 100 150



Bild/Fig. 19  
 Zündverzögerung  $t_{gd}$  bei  $i_{TM} = 30\text{ A}$ ,  $t_{vj} = 25^\circ\text{C}$ .  
 Gate controlled delay time  $t_{gd}$  at  $i_{TM} = 30\text{ A}$ ,  $t_{vj} = 25^\circ\text{C}$   
 a – äußerster Verlauf/limiting characteristic  
 b – typischer Verlauf/typical characteristic

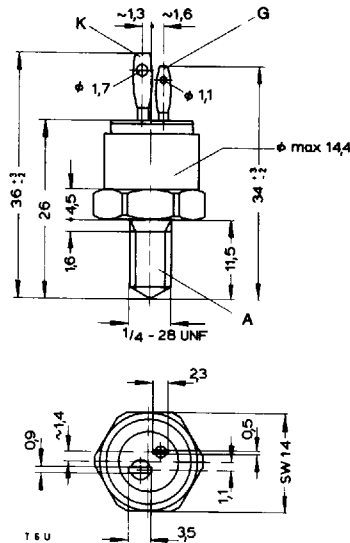


Bild/Fig. 20  
 Nachlaufladung  $Q_S$  in Abhängigkeit von der abkommutierenden Stromsteilheit  $-di/dt$  bei  $t_{vj} = 125^\circ\text{C}$ .  
 Der angegebene Verlauf wird von 90% aller Thyristoren nicht überschritten.  
 Lag charge  $Q_S$  versus the rate of decay of the forward on-state current  $-di/dt$  at  $t_{vj} = 125^\circ\text{C}$ .  
 These curves are valid for 90% of all thyristors.



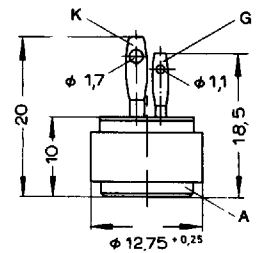
T 7 N...C  
T 10 N...C  
T 13 N...C

1



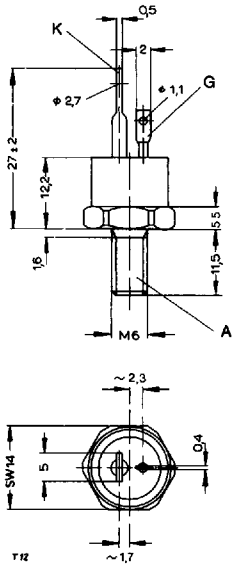
T 7 N...U  
T 10 N...U  
T 13 N...U

2



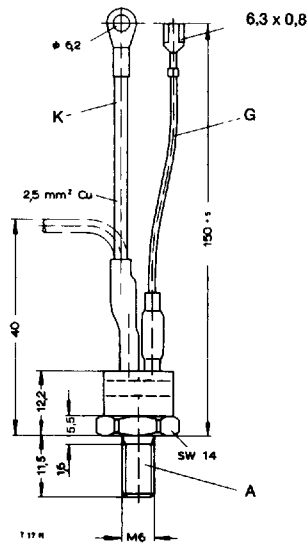
T 7 N...H  
T 10 N...H  
T 13 N...H

3



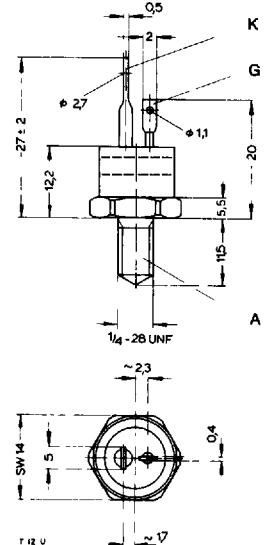
T 12 N...C  
T 15.1 N...C  
T 17 N...C  
T 24 N...C  
T 31 N...C

4



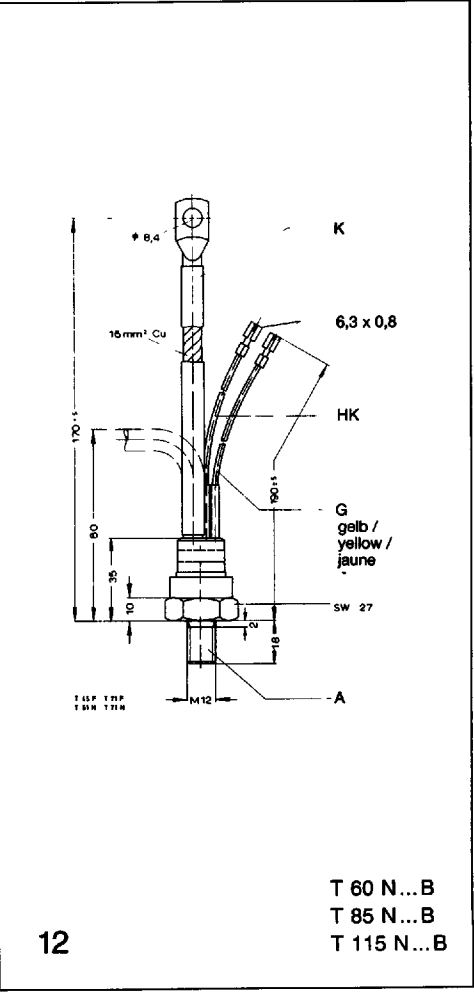
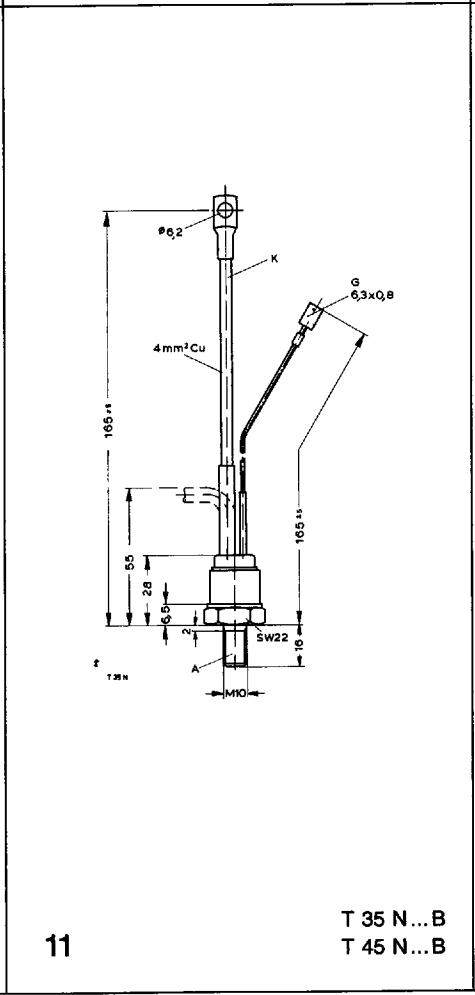
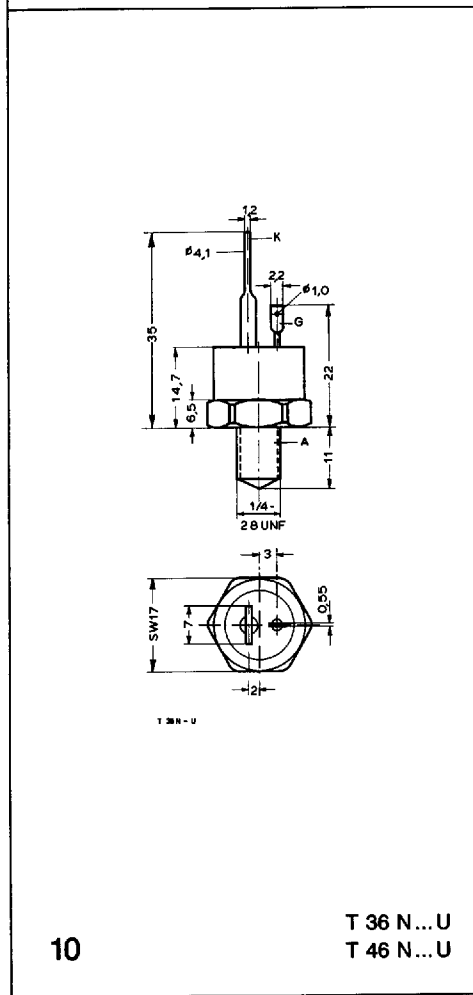
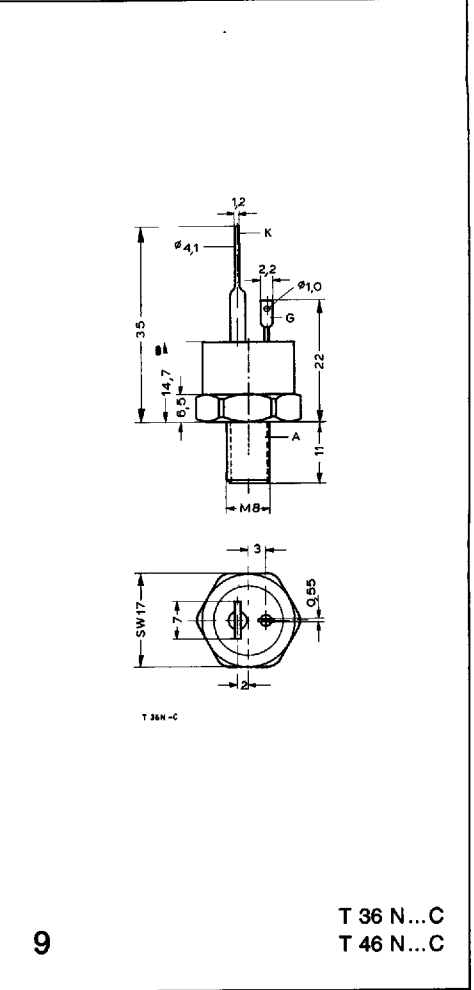
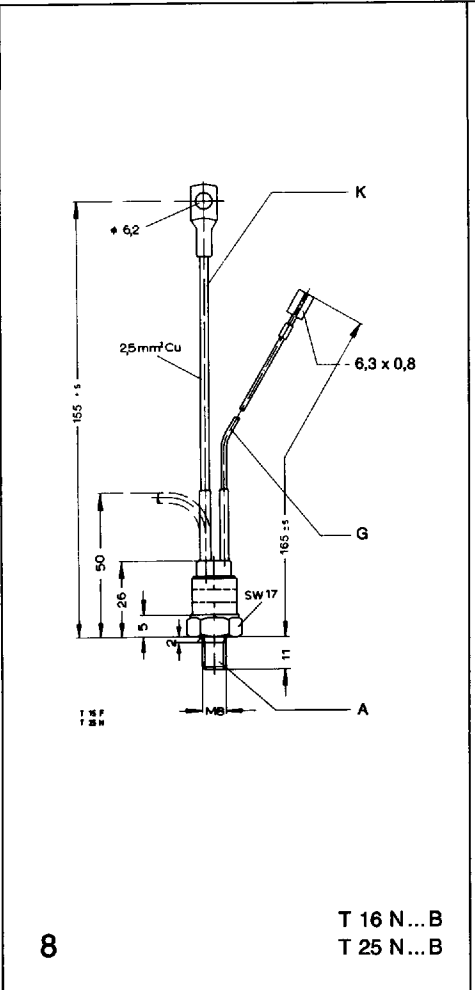
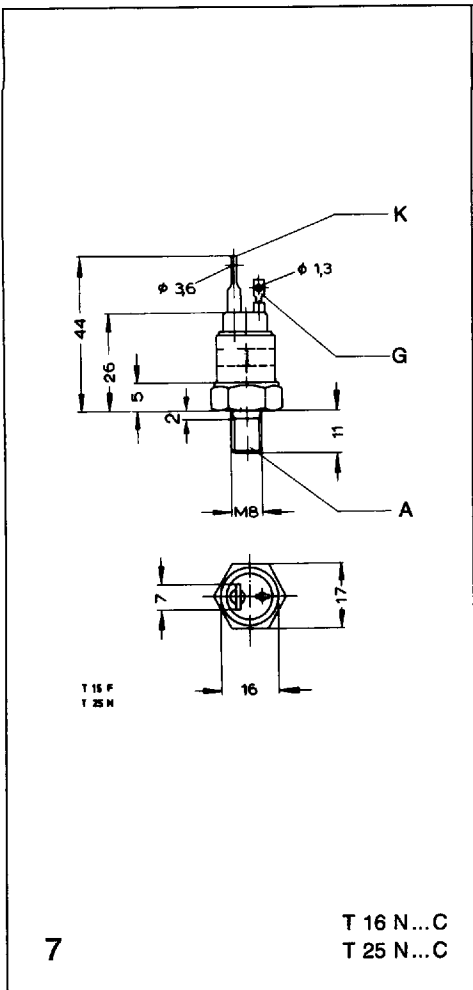
T 17 N...B  
T 24 N...B  
T 31 N...B

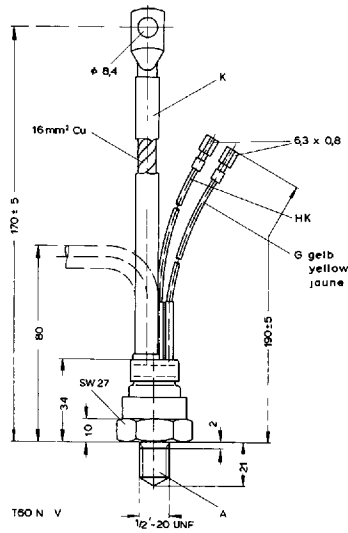
5



T 12 N...U  
T 15.1 N...U  
T 17 N...U  
T 24 N...U  
T 31 N...U

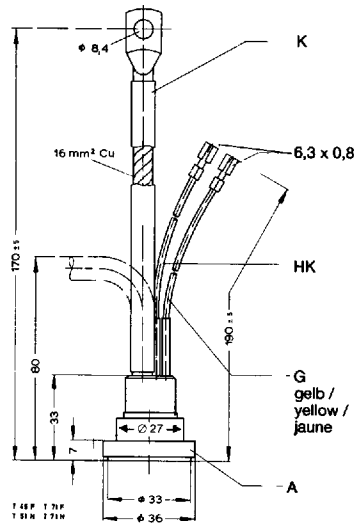
6





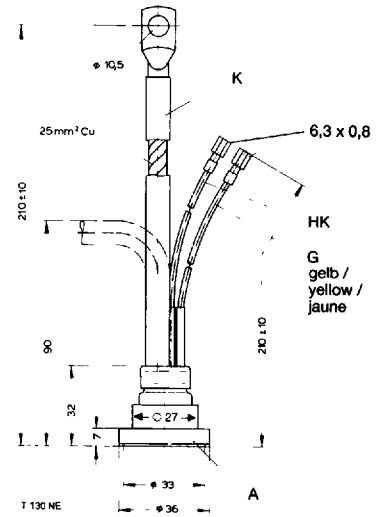
T 60 N...V  
T 85 N...V  
T 115 N...V

13



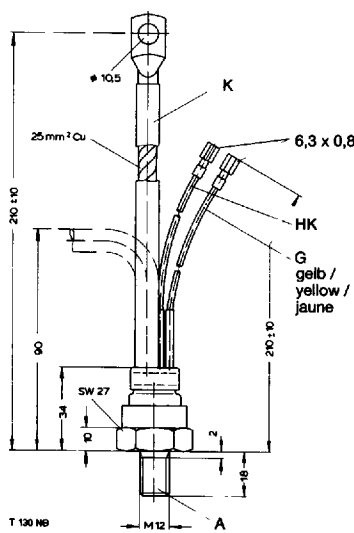
T 115 N...E

14



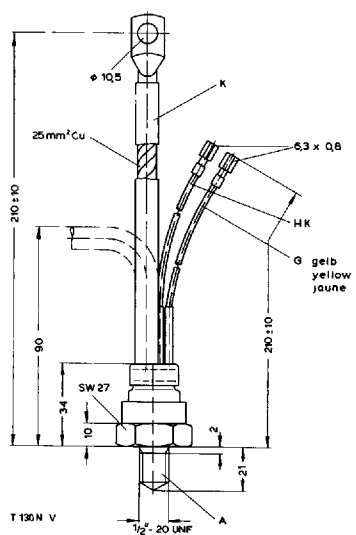
T 130 N...E  
T 160 N...E

15



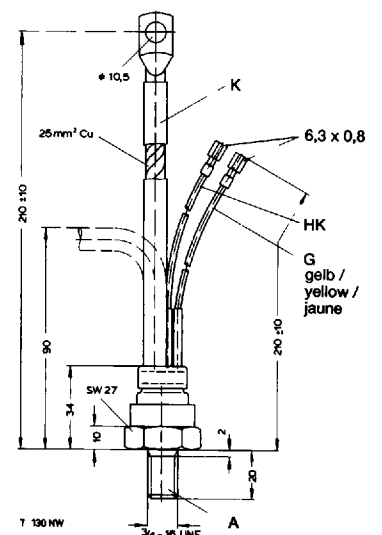
T 130 N...B  
T 160 N...B  
T 210 N...B

16



T 130 N...V  
T 160 N...V  
T 210 N...V

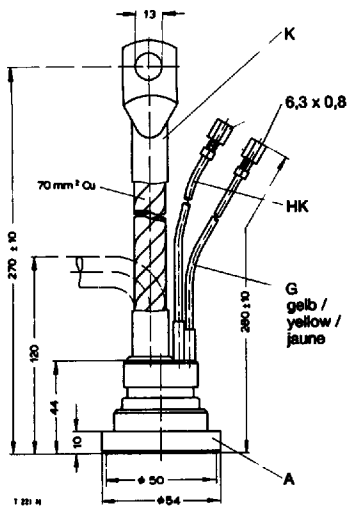
17



T 130 N...W  
T 160 N...W  
T 210 N...W

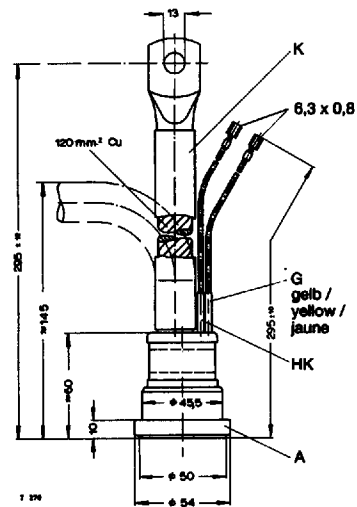
18





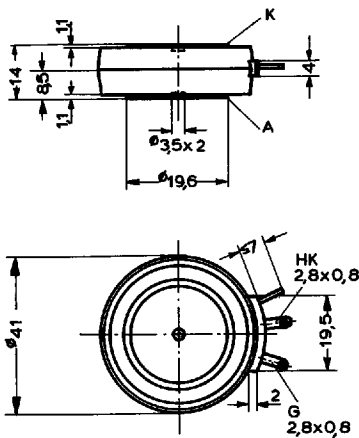
T 175 N  
T 221 N  
T 235 N  
T 236 N  
T 345 N

19



T 270 N

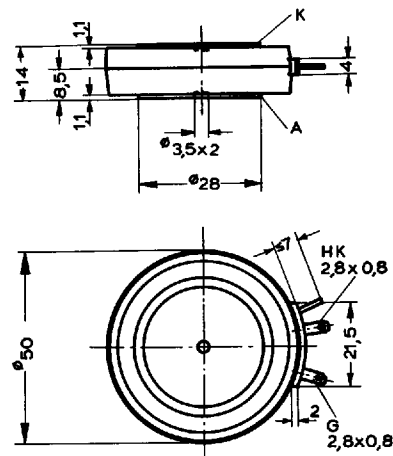
20



T 178 N

T 178 N  
T 198 N  
T 218 N  
T 298 N  
T 348 N  
T 358 N  
T 398 N

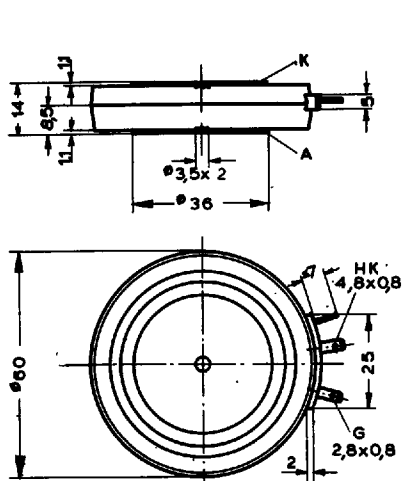
21



T 308 N

T 308 N  
T 388 N  
T 508 N  
T 588 N  
T 828 N

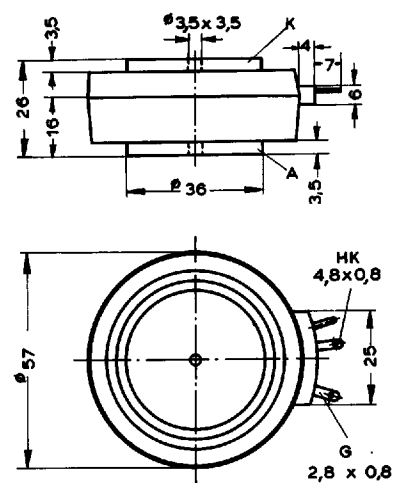
22



T 718 N

T 718 N  
T 1258 N

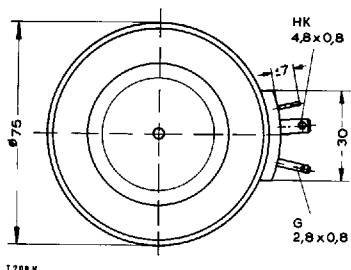
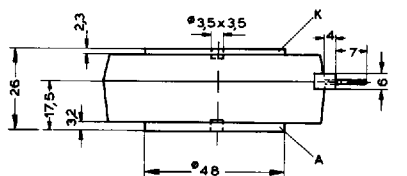
23



T 719 N

T 459 N  
T 509 N  
T 529 N  
T 719 N  
T 1259 N

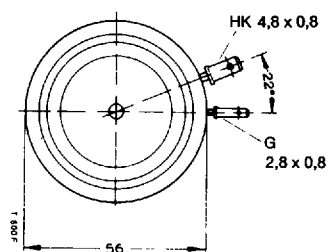
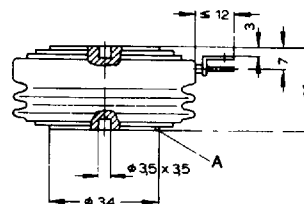
24



1700 N

25

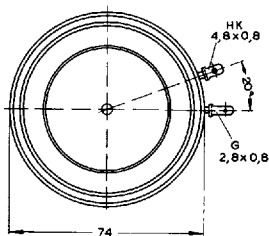
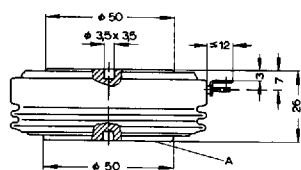
T 709 N  
T 869 N  
T 949 N  
T 1059 N  
T 1099 N  
T 1209 N



1000 I

26

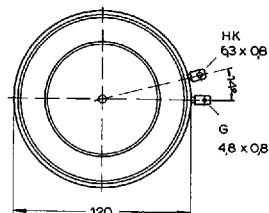
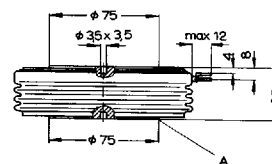
T 380 N



T 660 N

27

T 625 N  
T 860 N  
T 1050 N  
T 1200 N



T 1370 N

28

T 1270 N  
T 1580 N  
T 1900 N